

# АНАЛИЗ ЭКСПЕРИМЕНТАЛЬНЫХ РЕЗУЛЬТАТОВ ИЗМЕРЕНИЯ КОНЦЕНТРАЦИИ ДЕФЕКТОВ В ПОВЕРХНОСТНОМ СЛОЕ ОКСИДА ЦЕРИЯ, ДОПИРОВАННОГО АКЦЕПТОРОМ<sup>1</sup>

© 2023 г. И. Рис\*

Физический факультет, Технион ИТ, Хайфа, 3200003 Израиль

\*e-mail: riess@technion.ac.il

Поступила в редакцию 11.07.2022 г.

После доработки 04.08.2022 г.

Принята к публикации 30.08.2022 г.

Дана теоретическая интерпретация последних экспериментальных результатов по зависимости концентрации малых поляронов от парциального давления кислорода,  $P(O_2)$  в мономолекулярном поверхностном слое допированного оксида церия. Проанализированы два разных типа экспериментальных условий. (1) Исследована полностью восстановленная поверхность  $Sm_{0.2}Ce_{0.8}O_{1.9-\delta}$  и оценено взаимодействие в системе  $[Ce^{3+}]_s - P(O_2)$ . Экспериментальные данные объясняны возникновением металлоподобного поверхностного слоя, в первом приближении нейтрального, т.е., с пренебрежимо малым переходом заряда в объем. Поверхность становится металлоподобной потому, что внешние электроны на ионах  $Ce^{3+}$ , которые при низкой концентрации являются малыми поляронами, при высокой концентрации делокализуются. (2) Исследована поверхность  $Pr_{0.1}Ce_{0.9}O_{2-\delta}$ . Экспериментальные данные, касающиеся взаимодействия  $[Pr^{3+}]_s - P(O_2)$ , объясняны образованием полупроводникового отрицательно заряженного мономолекулярного поверхностного слоя, образующего двойной слой с положительно заряженным объемом. Как в случае  $Sm_{0.2}Ce_{0.8}O_{1.9-\delta}$ , так и  $Pr_{0.1}Ce_{0.9}O_{2-\delta}$  зависимость концентрации поверхностных дефектов от  $P(O_2)$  отличается от таковой в объеме.

**Ключевые слова:** поверхностные поляроны, двойной слой, восстановленный оксид церия, оксид церия, допированный Sm, оксид церия, допированный Pr, зависимость концентрации поверхностных дефектов от давления кислорода

DOI: 10.31857/S0424857023030118, EDN: HXGXWS

## 1. ВВЕДЕНИЕ

Концентрацию дефектов в мономолекулярном поверхностном слое материала трудно определить. Однако, недавние РФЭС-измерения на глубину всего 0.4 нм в применении к оксиду церия, допированному акцептором, позволили определить концентрацию дефектов в этом слое, как функцию парциального давления кислорода  $P(O_2)$  [1–3]. Поскольку толщина мономолекулярного поверхностного слоя оксида церия равняется 0.34 нм, опубликованные экспериментальные данные можно отнести к концентрации дефектов в мономолекулярном слое у поверхности оксида. Сообщается о двух разных типах экспериментальных условий. В первом из них рассматривается полностью восстановленная поверхность ок-

сида церия, допированного примесью Sm,  $Sm_{0.2}Ce_{0.8}O_{1.9-\delta}$  (**SDC**) и  $[Ce^{3+}]_s$ . Концентрацию ионов  $Ce^{3+}$  в поверхностном слое определяли, как функцию  $P(O_2)$  [2]. В этом оксиде акцепторы формируют локализованный заряд  $Sm^{3+}$ . При низких  $P(O_2)$  ионы “хозяина”  $Ce^{4+}$  восстанавливаются до  $Ce^{3+}$ . В другом эксперименте рассматривали оксид церия, допированный Pr,  $Pr_{0.1}Ce_{0.9}O_{2-\delta}$  (**PCO**), и  $[Pr^{3+}]_s$ . Концентрацию ионов  $Pr^{3+}$  в поверхностном слое также определяли, как функцию  $P(O_2)$  [3]. В этом случае катион-допант  $Pr^{4+}$  в поверхностном слое восстанавливается до  $Pr^{3+}$  при относительно высоком давлении кислорода, при котором ионы “хозяина”  $Ce^{4+}$  не восстанавливаются. Восстановление  $Ce^{4+}$  до  $Ce^{3+}$  происходит при намного более низком давлении  $P(O_2)$ . Изменение условий эксперимента приводит к совершенно другим значениям в соотноше-

<sup>1</sup> По материалам доклада на 16-м Международном Совещании “Фундаментальные проблемы ионики твердого тела”, Черноголовка, 27.06.–03.07.2022.

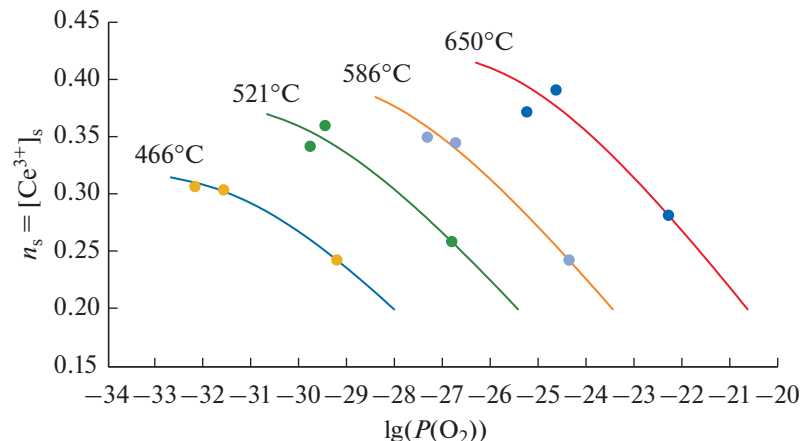


Рис. 1. Зависимость  $[Ce^{3+}]_s$  от  $P(O_2)$  на поверхности SDC. Сплошные линии — теория. ● — Экспериментальные точки [2].

ниях зависимости  $[Ce^{3+}]_s$  от  $P(O_2)$  и  $[Pr^{3+}]_s$  от  $P(O_2)$ .

## 2. КОНЦЕНТРАЦИЯ Ce<sup>3+</sup> В МОНОМОЛЕКУЛЯРНОМ ПОВЕРХНОСТНОМ СЛОЕ ВОССТАНОВЛЕННОГО Sm<sub>0.2</sub>Ce<sub>0.8</sub>O<sub>1.9-x</sub>

В полностью восстановленном SDC поверхностная концентрация Ce<sup>3+</sup> составляет долю ~0.3 от поверхностной концентрации катионов; остальные — это ионы Ce<sup>4+</sup> и Sm<sup>3+</sup> (их доля ~0.2). В этом случае малые поляроны (избыточный электрон на Ce<sup>3+</sup>, который может перескакивать на соседний ион Ce<sup>4+</sup>) делокализуются благодаря экранированию взаимодействия электрон–фонон [4], и поверхность можно рассматривать как металлическую [5]. В то время как заряды могут переноситься от поверхности в объем, теория говорит о том, что переносится (если переносится) лишь небольшая доля металлического заряда, так что поверхность можно рассматривать как нейтральную. Высокая степень восстановления также дает высокую концентрацию кислородных вакансий, V<sub>O</sub><sup>•</sup>. Объем CeO<sub>2</sub> [6] и CeO<sub>2</sub>, допированного Gd [7] (последний подобен SDC), представляет собой восстановленную кубическую гранецентрированную фазу, обозначаемую как  $\alpha$ -фаза. Эта  $\alpha$ -фаза способна выдержать лишь ограниченную концентрацию кислородных вакансий V<sub>b, max</sub> (~10% анионов), генерированных реакцией восстановления. При более высокой концентрации вакансий возникает новая фаза. Предполагается, что вышесказанное справедливо и для поверхностного слоя, как это имеет место в слоях, полученных эпитаксией, так что для восстановленной поверхности  $\alpha$ -фазы принимается ограниченная концентрация вакансий, V<sub>s, max</sub>.

Решение уравнений для зависимости  $[Ce^{3+}]_s - P(O_2)$  при условии, что (а) кислород равновесно обменивается с окружающей средой, (б) поверхностный слой металлический, (в) поверхностный слой нейтрален и (г) при низком давлении кислорода  $P(O_2)$  его хемосорбция ничтожно мала, дает [5]:

$$P(O_2)^{1/2} \frac{A_s + n_s}{2V_{s,max} - A_s - n_s} e^{2n_s d_s / k T g_s} = K_s(T), \quad (1)$$

где  $A_s = [Sm^{3+}]_s$  — концентрация акцепторов в поверхностном слое,  $n_s = [Ce^{3+}]_s$  — поверхностная концентрация электронов (которые, как уже упоминалось, делокализованы на “металлической” поверхности) в единице объема,  $d_s$  — толщина поверхностного слоя,  $g_s$  — плотность состояний в зоне проводимости на единицу площади поверхности,  $k$  — постоянная Больцмана,  $T$  — температура,  $K_s(T)$  — постоянная реакции восстановления.

Уравнение (1) дает очень слабую зависимость  $n_s$  от  $P(O_2)$ , грубо говоря,  $n_s \propto P(O_2)^{-0.02}$ . Эта слабая зависимость сильно отличается от зависимости концентрации электронов от  $P(O_2)$  в нейтральном объеме, которая описывается соотношением:  $n_b \propto P(O_2)^{-0.25}$ . Рисунок 1 показывает фитинг теоретического расчета (уравнение (1)) и экспериментальных данных для поверхностного слоя. Этот фитинг дает поверхностную плотность состояний  $g_s$  [5],

$$g_s = 1.4 \times 10^{15} \text{ эВ}^{-1} \text{ см}^{-2}, \quad (2)$$

из которой можно получить эффективную массу электрона:  $m_{eff,s} = 3.3m_e$  (где  $m_e$  — масса свободного электрона). Значение поверхностной концентрации акцепторов определено как  $A_s = 0.28$ , что отличается от значения для объема,  $A_b = 0.2$  (в единицах доли катионов). Величина  $A_s = 0.28$  согласуется с экспериментом [2]. Как показано на

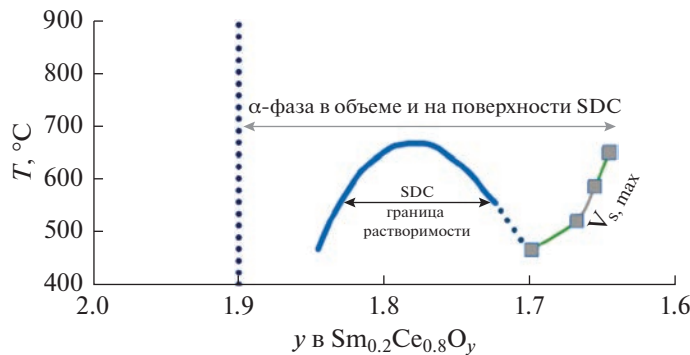


Рис. 2. Фазовая диаграмма восстановленной поверхности SDC [5].

рис. 2, значения  $V_{s, \max}$  при четырех температурах дают границу  $\alpha$ -фазы на восстановленной поверхности. Граница растворимости на рис. 2 взята для восстановленной  $\alpha$ -фазы в объеме [5].

### 3. КОНЦЕНТРАЦИЯ $\text{Pr}^{3+}$ В МОНОМОЛЕКУЛЯРНОМ ПОВЕРХНОСТНОМ СЛОЕ $\text{Pr}_{0.1}\text{Ce}_{0.9}\text{O}_{2-\delta}$

В РСО поверхностная концентрация малых поляронов, т.е., электронов на  $\text{Pr}^{3+}$ , равняется доле катионов 0–0.1; эти электроны способны перескакивать лишь на ограниченное число соседних ионов  $\text{Pr}^{4+}$ , а не на гораздо большее число соседних ионов  $\text{Ce}^{4+}$ . Как результат, поверхность, как и объем, проявляет полупроводниковые свойства. Благодаря различию энергий межатомного взаимодействия на поверхности и в объеме, следует ожидать переноса заряда с поверхности в объем. Результаты, полученные для отрицательно заряженной поверхности, согласуются с экспериментом [8]. В этом случае пространственный заряд в объеме положителен. Этот пространственный заряд описывается уравнением Пуассона. Поскольку оксид в целом нейтрален, поверхностный заряд по величине равняется объемному пространственному заряду. Поскольку для аналитического решения уравнения для зависимости  $[\text{Pr}^{3+}]_s - P(\text{O}_2)$  требуется лишь знание интегрального пространственного заряда, нет нужды детально решать уравнение распределения пространственного заряда, следовательно, не требуется проводить двойное интегрирование уравнения Пуассона. Решение уравнений для зависимости  $[\text{Pr}^{3+}]_s - P(\text{O}_2)$  при условиях, что (а) кислород равновесно обменивается с окружающей средой, (б) взаимодействие  $\text{Pr}-\text{Pr}$  ничтожно мало, (в) поверхностный слой заряжен отрицательно, образуя двойной слой с положительно заряженным объемом, и (г) хемосорбция кислорода ничтожно мала (из-

за того, что в РФЭС-измерениях применяется сверхвысокий вакуум) дает [8]:

$$P_s^4 = e^{f_s \delta_s / kT} K_s(T) (P_{0,s} - P_s)^2 P(\text{O}_2)^{-1/2}, \quad (3)$$

где  $P_s = [\text{Pr}^{3+}]_s$  в обозначениях Крегера–Винка равняется  $\left[ \text{Pr}'_{\text{Ce}} \right]_s$ .  $P_{0,s}$  — полная концентрация ионов  $\text{Pr}$  на поверхности, в то время как в состояниях ионизации 4+ или 3+ находится номинально 10% катионов,  $K_s(T)$  — константа, пропорциональная константе реакции восстановления для стехиометрической поверхности,  $\delta_s$  — отклонение от стехиометрии в поверхностном слое, и  $f_s \delta_s$  — изменение энталпии восстановления  $\Delta H_s^0$  с ростом нестехиометрии поверхности, как это было показано для объема [9]:

$$\Delta H_s^0(\delta_s) = \Delta H_s^0(0) + f_s \delta_s. \quad (4)$$

На рис. 3 показан фитинг теории (уравнение (2)) и экспериментальных результатов [3]. Он дает  $f_s = 0$  и долю катионов  $P_{0,s} = 0.105$ , что близко к номинальному значению 0.1. Исчезновение  $f_s$  указывает на то, что энталпия поверхностного восстановления не чувствительна к изменениям стехиометрии в интервале  $0 < \delta_s < 0.05$  при температуре эксперимента  $450^{\circ}\text{C}$ . Это может быть вызвано более низкой энергией реакции поверхностных дефектов и повышенным дефектообразованием из-за разупорядочения, не зависящего от нарушений стехиометрии. Предельное уравнение для высокого давления кислорода ( $P_s \ll P_{0,s}$ ) таково:  $P_s = [\text{Pr}^{3+}]_s \propto P(\text{O}_2)^{-1/8}$ .

На рис. 3 также показано, что концентрация ионов  $\text{Pr}^{3+}$  в нейтральном объеме, как функция  $P(\text{O}_2)$ , отличается от случая поверхности: она дается уравнением

$$P_b^3 = 2e^{f_b \delta_b} K_b(T) (P_{0,b} - P_b)^2 P(\text{O}_2)^{-1/2}, \quad (5)$$

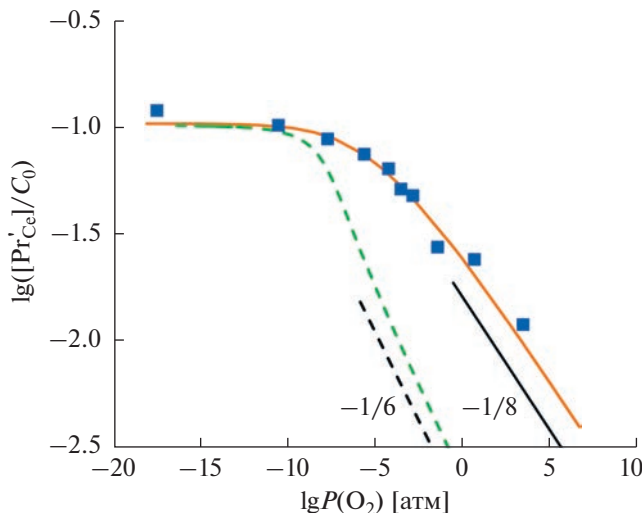


Рис. 3. Зависимость  $[Pr^{3+}] = [Pr'_{Ce}]$  от  $P(O_2)$  в PCO. Сплошные линии – поверхность, пунктир – объем. ■ – экспериментальные точки при  $450^\circ\text{C}$  [3].

где  $P_b = [Pr^{3+}]_b = [Pr'_{Ce}]_b$ , а нижним индексом “ $b$ ” обозначены параметры нейтрального объема, т.е., лежащего за пределами области пространственного заряда. Уравнение (5) применяется при  $f_b = -6 \text{ эВ}/\delta_b$  и  $P_{0,b} = 0.103$ . Предельное уравнение для высокого давления кислорода таково:  $[Pr^{3+}]_b \propto P(O_2)^{-1/6}$  [3].

Различие между поверхностью и объемом состоит прежде всего в асимптотическом поведении на предельно высоких  $P(O_2)$ :  $[Pr^{3+}]_s \propto P(O_2)^{-1/8}$  для поверхностного слоя, в сравнении с формулой  $[Pr^{3+}]_b \propto P(O_2)^{-1/6}$  для объема. К тому же концентрация восстановленных ионов  $Pr^{3+}$  на поверхности сохраняется при более высоких  $P(O_2)$ , чем в объеме. Это объясняется более слабыми связями в поверхностном слое, обеспечивая потерю кислорода, поэтому-то концентрация восстановленных ионов  $Pr^{3+}$  на поверхности и сохраняется при более высоких  $P(O_2)$ , чем в объеме.

В экспериментах работы [3] давление кислорода в поверхностном слое контролировали электрохимическим методом; оно достигало  $10^{-5}$  атм. Давление кислорода в газовой фазе задавалось условиями РФЭС-измерений, а они проводились в сверхвысоком вакууме. Это показывает, что поверхность не находится в равновесии с окружающей средой. Она находится в равновесии только с объемом.

В отличие от случая SDC, в PCO концентрация допанта на поверхности и в объеме одинакова ( $\sim 10\%$  катионов). Это может быть результатом

метода, примененного при создании слоя PCO, – импульсного лазерного осаждения на подложке при  $750^\circ\text{C}$ , с последующим тестированием при  $450^\circ\text{C}$  [3]. О применении отжига не сообщалось. В случае SDC допированный оксид также готовили методом импульсного лазерного осаждения на подложку, на этот раз при  $650^\circ\text{C}$ , но затем следовал отжиг при  $650^\circ\text{C}$  в течение 1 ч [2]. Очевидно, отжиг приводил к различию концентраций в объеме и на поверхности.

#### 4. ЗАКЛЮЧЕНИЕ

Зависимости от давления кислорода концентраций дефектов –  $Ce^{3+}$  в  $Sm_{0.2}Ce_{0.8}O_{1.9-\delta}$  (SDC) и  $Pr^{3+}$  в  $Pr_{0.1}Ce_{0.9}O_{2-\delta}$  (PCO) – в мономолекулярном поверхностном слое и в объеме сильно различаются. Поверхность SDC становится сильно восстановленной при относительно высоких  $P(O_2)$ , при которых объем SDC восстановлен не очень сильно. На сильно восстановленной поверхности SDC экспериментальная зависимость  $[Ce^{3+}]_s - P(O_2)$  [2] объясняется тем, что “металлизированная” поверхность приблизительно нейтральна. Избыточный электрон на  $Ce^{3+} = Ce'_{Ce}$ , сгенерированный восстановлением катиона-хозяина  $Ce^{4+}$ , делокализуется при высокой концентрации на восстановленной поверхности. Из-за металлизации поверхности зависимость  $[Ce^{3+}]_s - P(O_2)$  очень слабая.

Фитинг теоретических расчетов и экспериментальных данных для SDC дает представление о ряде параметров [5]. (1) Концентрация акцептора  $Sm^{3+}$  на поверхности (доля катионов 0.28) выше, чем в объеме (0.2) (что подтверждается экспериментально). Следующие параметры доступны для экспериментального определения: (2) поверхность металлизирована, (3) поверхность нейтральна, (4) плотность электронных состояний на единицу энергии и в единице площади поверхности равняется  $g_s = 1.4 \times 10^{15} \text{ эВ}^{-1} \text{ см}^{-2}$ , (5) эффективная масса электрона равняется  $m_{eff,s} = 3.3m_e$ , (6) восстановленная поверхность представляет собой кубическую гранецентрированную  $\alpha$ -фазу с предельно высокой концентрацией вакансий  $V_{s,max}$ , (7) хотя диаграмма восстановленной  $\alpha$ -фазы и похожа на диаграмму объема, но реализуется она при гораздо более высоком давлении кислорода, чем в объеме.

В случае PCO при рассматриваемых относительно высоких  $P(O_2)$  катионы “хозяина”  $Ce^{4+}$  устойчивы, в то время как ионы донанта  $Pr^{4+}$  восстанавливаются до  $Pr^{3+}$ . Экспериментальные соотношения для поверхности [3] объясняются [8] полупроводниковым характером поверхности и объема и переносом заряда с поверхности в объем с образованием двойного слоя, в котором поверх-

ность заряжена отрицательно. Для теоретического расчета требуется только частное решение уравнения Пуассона для пространственного заряда в объеме. Соотношение для зависимости  $[Pr^{3+}]_s - P(O_2)$  на поверхности отличается от такого  $[Pr^{3+}]_b - P(O_2)$  в объеме; пределы для высоких  $P(O_2)$  также различны. Ионы  $Pr^{3+}$  на поверхности сохраняются при более высоких  $P(O_2)$ , чем в объеме, благодаря более низкой энергии образования, чем в объеме [3]. При описанных условиях эксперимента энタルпия восстановления поверхности РСО не чувствительна к отклонениям от стехиометрии, в отличие от энталпии восстановления объема, которая при отклонениях от стехиометрии снижается.

#### ФИНАНСИРОВАНИЕ РАБОТЫ

Работа поддержана институтом Технион, грант № 2023320.

#### КОНФЛИКТ ИНТЕРЕСОВ

Автор заявляет, что у него нет конфликта интересов.

#### СПИСОК ЛИТЕРАТУРЫ

- Oswald, S., *Encyclopedia of Analytical Chemistry*, John Wiley & Sons, 2013. March 15.
- Chueh, W.C., McDaniel, A.H., Grass, M.E., Hao, Y., Jabeen, N., Liu, Z., S. Haile, M., McCarty, K.F., Bluhm, H., and El Gabaly, F., Highly Enhanced Concentration and Stability of Reactive  $Ce^{3+}$  on Doped  $CeO_2$  Surface Revealed in Operando, *Chem. Mater.*, 2012, vol. 24, p. 1876.
- Lu, Q., Vardar, G., Jansen, M., Bishop, S.R., Waluyo, I., Tuller, H.L., and Yildiz, B., Surface Defect Chemistry and Electronic Structure of  $Pr_{0.1}Ce_{0.9}O_{2-\delta}$  Revealed in Operando, *Chem. Mater.*, 2018, vol. 30, p. 2600.
- Devreese, J.T. and Peeters, F.M., *Electron-phonon interaction in two-dimensional systems: polaron effects and screening*, in: *Phys. Two-Dimensional Electron Gas*, Springer USA, 1987, p. 131–182.
- Riess, I., Analysis of point defect concentrations in highly reduced, monomolecular surface layer of doped ceria, *Solid State Ionics*, 2021, vol. 373, p. 115791.
- Ricken, M., Nölting, J., and Riess, I., Specific Heat and Phase Diagram of Non Stoichiometric Ceria ( $CeO_{2-\delta}$ ), *J. Solid State Chem.*, 1984, vol. 54, p. 89.
- Stelzer, N., Nölting, J., and Riess, I., Phase Diagram of Nonstoichiometric 10 mol. %  $Gd_2O_3$  Doped Cerium Oxide Determined from Specific Heat Measurements, *J. Solid State Chem.*, 1995, vol. 117, p. 392.
- Riess, I., Analysis of the unique dependence on oxygen pressure of  $Pr^{3+}$  concentration in the surface of Pr doped ceria, *Solid State Ionics*, 2022, vol. 380, p. 115899.
- Chatzichristodoulou, C. and Hendriksen, P.V., Analysis of the unique dependence on oxygen pressure of  $Pr^{3+}$  concentration in the surface of Pr doped ceria, *J. Electrochem. Soc.*, 2010, vol. 157, p. B481.